

## КОДИРОВАНИЕ ИНФОРМАЦИИ В НАНОВРЕМЕННЫХ ИНТЕРВАЛАХ МЕЖДУ ВОЗБУЖДАЮЩИМИ ЛАЗЕРНЫМИ ИМПУЛЬСАМИ В ОПТИЧЕСКОМ ЭХО-ПРОЦЕССОРЕ

Л. А. Нефедьев, А. Р. Сахбиева

Казанский федеральный университет, Казань, Россия

nefediev@yandex.ru , alsu-sakhbieva@yandex.ru

PACS 42.40.-i, 42.50.-p, 42.50.Ct, 42.50.Gy, 42.79.Np, 89.70.+c

Рассмотрено кодирование информации в нановременных интервалах между возбуждающими лазерными импульсами в оптическом эхо-процессоре. Введены информационные меры для описания преобразования классической информации в квантовую. При преобразовании классической информации, заложенной в нановременные интервалы эшелона лазерных импульсов в квантовую, наиболее подходящей мерой является квантовая информационная мера, основанная на алгоритмической теории информации, так как она имеет наибольшую корреляцию с классической информационной мерой.

**Ключевые слова:** фотонное эхо, эхо-процессор.

### 1. Введение

Исследования по оптической обработке и хранению информации показывают большие перспективы по созданию быстродействующих процессоров, в частности — оптических эхо-процессоров [1], основанных на использовании сигналов фотонного эха. В этом случае информация может быть заложена в амплитудно-временную форму возбуждающих лазерных, в волновые фронты и поляризацию импульсов, в эшелоны импульсов.

Демонстрация частотно-селективной оптической памяти, где запись и обработка данных происходит как в нановременных, так и в частотных интервалах описывается в работе [2]. Эхо-процессор в режиме долгоживущего фотонного эха, в которой сочетаются достоинства одновременной записи динамической интерферограммы с длительным ее хранением был предложен в работе [3]. Конструкция данного процессора дала возможность продемонстрировать в [4] плотность записи и обработки информации порядка нескольких гигабит/см<sup>2</sup>, используя сжатие и растяжение информационных сигналов путем быстрого изменения их несущей частоты.

С точки зрения теории информации можно представить эхо-процессор как информационный канал с памятью и шумами, на входе и выходе которого информация имеет классический вид, а внутри канала — квантовый. Такой канал обеспечивает передачу и преобразование информации между различными моментами времени и направлениями в пространстве.

Рассмотрим систему (сообщение), описываемую переменными  $A$  (классическими или квантовыми) и построим ее классическое и квантовое описание. В классической информационной теории определим Шенноновскую энтропию для  $A$ :

$$J_c = - \sum_n p(a) \log_2 p(a), \quad (1)$$

где переменная  $A$  принимает значение  $a$  с вероятностью  $p(a)$ . Квантовым аналогом является энтропия фон Неймана  $J_{fn}(\rho_A)$ :

$$J_{fn} = -\text{Tr}_A [\rho_A \log_2 \rho_A], \quad (2)$$

где  $\text{Tr}_A$  означает след по степеням свободы подсистемы  $A$ .

В данной работе мы исследуем процессы преобразования классической дискретной информации, заложенную в нановременные интервалы эшелона лазерных импульсов в квантовую.

## 2. Энтропия фон Неймана при описании систем с когерентной суперпозицией базисных состояний

Найдем выражение для энтропии фон Неймана  $J_{fn} = -\text{Tr}_A [\rho_A \log_2 \rho_A]$  для двухуровневой системы, описываемой матрицей плотности

$$\rho = \begin{pmatrix} \rho_{11} & \rho_{12} \\ \rho_{21} & \rho_{22} \end{pmatrix}.$$

Для расчета  $\log_2 \rho$  применим методы вычислений функций от матриц. Энтропия фон Неймана будет описываться следующим выражением:

$$\begin{aligned} J_{fn} = -\text{Tr}_A [\rho_A \log_2 \rho_A] = & \frac{1}{\sqrt{(\rho_{11} - \rho_{22})^2 + 4|\rho_{12}|^2}} \left[ 2|\rho_{12}|^2 \log_2 \frac{\lambda_2}{\lambda_1} + \right. \\ & + \frac{1}{2}\rho_{11} \left( \rho_{22} - \rho_{11} - \sqrt{(\rho_{11} - \rho_{22})^2 + 4|\rho_{12}|^2} \right) \log_2 \lambda_1 - \\ & - \frac{1}{2}\rho_{11} \left( \rho_{22} - \rho_{11} + \sqrt{(\rho_{11} - \rho_{22})^2 + 4|\rho_{12}|^2} \right) \log_2 \lambda_2 - \\ & - \frac{1}{2}\rho_{22} \left( \rho_{22} - \rho_{11} - \sqrt{(\rho_{11} - \rho_{22})^2 + 4|\rho_{12}|^2} \right) \log_2 \lambda_1 - \\ & \left. - \frac{1}{2}\rho_{22} \left( \rho_{22} - \rho_{11} + \sqrt{(\rho_{11} - \rho_{22})^2 + 4|\rho_{12}|^2} \right) \log_2 \lambda_2 \right]. \quad (3) \end{aligned}$$

При отсутствии в системе когерентности из (3) следует

$$\lim_{|\rho_{12}| \rightarrow 0} J_{fn}(\rho) = -\rho_{11} \log_2 \rho_{22}. \quad (4)$$

В целом процесс записи и воспроизведения информации в резонансной среде [7, 8] можно представить в виде рис. 1.

Полученная структура энтропии фон Неймана показывает, что она не может быть хорошей мерой квантовой информации в случае наличия когерентности в системе. Она мало чувствительна к изменению недиагональной части матрицы плотности, в которой заложена информация о квантовых фазах. Подходящей мерой квантовой информации при наличии когерентности в системе может служить  $K$  — сложность и приложения алгоритмической теории информации к описанию квантовых информационных процессов [7, 8].

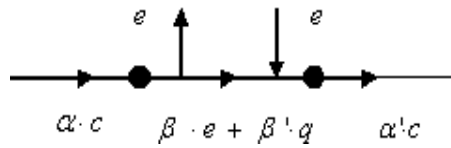


Рис. 1. Преобразование информации в оптическом эхо процессоре.  $\alpha \cdot c$  — входящие в квантовую систему классические  $c$  — биты,  $\beta \cdot e + \beta' \cdot q$  — информация, хранящаяся в квантовой системе в виде виртуальных и квантовых битов,  $\bar{e}$  — виртуальные квантовые антибиты, возникающие из-за перепутывания состояний квантовой системы с состояниями резервуара,  $\alpha' \cdot c$  — воспроизводимая классическая информация

### 3. Квантовая структурная информация в среде с фазовой памятью

Поскольку носителем структурной информации в резонансной среде являются переходные динамические решетки, описываемые матрицей плотности, то структурная информация оказывается заложенной в амплитудно-фазовой структуре матрицы плотности  $\rho$ . Сопоставим такой матрице взвешенный граф.

В качестве объекта рассмотрим граф  $G$ , соответствующий матрице плотности системы элементы которого  $\in V(G)$ , где  $V$  — конечное множество, состоящее из  $N$  вершин (помеченных), соответствующих диагональным элементам матрицы плотности и  $q$  ребер, соответствующих недиагональным элементам. Таким образом  $V = \Gamma \cup Q$ , где  $\Gamma$  — множество, содержащее элементы вершин графа, а  $Q$  — множество, содержащее элементы ребер.

Относительной сложностью  $K$  объекта  $G$  будем считать минимальную длину  $l(p)$  программы  $p$  получения из  $G$  объекта  $G_0$ . Определим количество структурной информации в  $G$  относительно  $G_0$  как

$$J = K(G, G_0) - K(G_0). \quad (5)$$

Алгоритмический процесс получения из объекта  $G$  объекта  $G_0$  расчленим на отдельные шаги ограниченной сложности. Каждый шаг состоит в переработке возникшего к этому шагу состояния объекта  $G_k$  в состояние  $G_{k+1}$ :

$$G^{k+1} = D_k(G^k). \quad (6)$$

Оператор  $D$  является набором правил по переработке активной части объекта  $G$ . Таким образом

$$G_0 = D(G). \quad (7)$$

Поскольку потенциальная квантовая информация заложена в когерентной части матрицы плотности, активной частью объекта  $G$  будем считать элементы  $\in Q$ . Оператор  $D$  определим как оператор удаления (уничтожения) любыми возможными способами элементов из соответствующей активной части объекта  $G$ :

$$D(Q) = 0. \quad (8)$$

Выполнение процедуры (8) приводит к ансамблю множеств  $Q^{(k)}$ . Так как взвешенному графу  $G$  соответствует матрица плотности

$$\rho = \sum_{i,j=1}^N \rho_{ij} P_{ij}, \quad (9)$$

где  $P_{ij}$ - проективные матрицы (имеют элемент  $ij$  равный 1, а остальные равны нулю), то сумма  $S(t_0)$  величин элементов активной части объекта в начальный момент времени будет:

$$S(t_0) = \text{abs} \left( \sum_{i \neq j} \rho_{ij}(t_0) \right). \quad (10)$$

Вычисляя соответствующую сумму  $S'(t) = \sum S^{(k)}(t)$  в момент времени  $t$  для ансамбля множеств  $Q^{(k)}$ , окончательно получим:

$$J_q = \log_2 \left( \frac{S'(t)}{S(t_0)} \right). \quad (11)$$

Таким образом, выражение (11) с учетом (10) определяет количество квантовой информации системы в  $q$ -битах.

#### 4. Процесс преобразования дискретной классической информации в структурную квантовую информацию

Рассмотрим преобразование классической информации  $J_c(A)$ , заложенной в объектный лазерный импульс, при его воздействии на систему двухуровневых атомов в квантовую информацию  $J_q$ , носителями которой являются суперпозиционные состояния атомов.

Объектный импульс представим как последовательность (эшелон)  $n$  прямоугольных лазерных импульсов, разделенных произвольными нановременными интервалами. Обозначим временные интервалы как  $\tau_\eta$  ( $\eta = 1 \dots n$ ). Тогда  $\varepsilon_\eta > 0$  будет соответствовать наличию импульса, а  $\varepsilon_\eta = 0$  – временному интервалу. Длительность всего эшелона импульсов будет  $\delta t = \sum \tau_\eta$  при условии  $\delta t \ll T_1, T_2$ , где  $T_1$  и  $T_2$  – времена продольной и поперечной необратимой релаксации рассматриваемой системы.

Для описания процесса преобразования классической информации в квантовую наиболее подходящим определением классической информации может служить дифференциальная информационная энтропия Фурье-спектра эшелона лазерных импульсов, поскольку в резонансной среде носителями информации являются  $q$ -биты, распределенные в пределах неоднородно уширенной линии резонансного перехода.

В общем случае напряженность Фурье-компоненты электрического поля эшелона импульсов будет иметь вид:

$$E(\nu') = \sum_{\eta=1}^n \varepsilon_\eta \int_{t_{\eta-1}}^{t_\eta} e^{-i2\pi\nu' t} dt, \quad (12)$$

где  $\nu'$  – частоты Фурье-спектра, а момент времени  $t_\eta$  начала действия  $\eta$ -го импульса определим как

$$t_\eta = t_0 + \sum_{k=1}^{\eta} \tau_k$$

и будем считать начальный момент времени  $t_0 = 0$ . Тогда из (12) для величины амплитуды Фурье-компоненты электрического поля эшелона импульсов получим:

$$A(\omega') = |E(\omega')| = \sqrt{\text{Re}(E(\omega'))^2 + \text{Im}(E(\omega'))^2}, \quad (13)$$

где  $\omega' = 2\pi\nu'$ ,

$$\operatorname{Re}(E(\omega')) = \sum_{\eta=1}^n \varepsilon_{\eta} \tau_{\eta} \sin c(\omega' \tau_{\eta} / 2) \cos \left( \omega' \left( 2 \sum_{k=1}^{\eta} \tau_k - \tau_{\eta} \right) / 2 \right), \quad (14)$$

$$\operatorname{Im}(E(\omega')) = \sum_{\eta=1}^n \varepsilon_{\eta} \tau_{\eta} \sin c(\omega' \tau_{\eta} / 2) \sin \left( \omega' \left( 2 \sum_{k=1}^{\eta} \tau_k - \tau_{\eta} \right) / 2 \right). \quad (15)$$

Дифференциальную информационную энтропию Фурье-спектра эшелона лазерных импульсов определим как  $J'_c = J_c - J_{c_0}$ , где

$$J_c = - \int_{-\infty}^{\infty} p(\omega') \log_2 p(\omega') d\omega', \quad (16)$$

$$p(\omega') = \frac{A(\omega')}{\int_{-\infty}^{\infty} A_0(\omega') d\omega'}, \quad (17)$$

где  $A_0(\omega')$  определяется из выражения (13) при одинаковых временных интервалах  $\tau_{\eta}$ ,  $J_{c_0}$  определяется аналогично (16) при одинаковых амплитудах  $\varepsilon_{\eta}$  и временных интервалах  $\tau_{\eta}$  в выражениях (14) и (15).

Для нахождения величины квантовой информации (алгоритмической или фон Неймана) надо вычислить матрицу плотности резонансной системы после воздействия объектного импульса (эшелона).

Найдем матрицу плотности при взаимодействии атома с отдельной Фурье - компонентой поля эшелона импульсов с последующим усреднением по всем частотам. Напряженность электрического поля Фурье - компоненты поля импульса запишем как

$$\tilde{E}(\omega') = \frac{1}{2} \left[ E^*(\omega') e^{i(\omega - \omega')t} + E(\omega') e^{-i(\omega - \omega')t} \right]. \quad (18)$$

Уравнение для Фурье-компоненты одночастичной матрицы плотности в этом случае запишем в виде

$$\frac{\partial \tilde{\rho}}{\partial t} = -\frac{i}{\hbar} [B, \tilde{\rho}], \quad (19)$$

где

$$\begin{aligned} B &= \tilde{J}_{c_0} - \hbar A + \tilde{V}, \quad J_{c_0} = \hbar(\Omega - \Omega') P_{22}, \quad A = (\omega - \omega') P_{22}, \\ e^{\pm iAt} &= P_{11} + P_{22} e^{\pm i(\omega - \omega')t}, \quad \tilde{V} = -\frac{1}{2} d [E^*(\omega') P_{12} + E(\omega') P_{21}], \\ B &= \begin{pmatrix} 0 & -\frac{1}{2} d E^*(\omega') \\ -\frac{1}{2} d E(\omega') & \hbar(\omega' - \Omega') \end{pmatrix}, \end{aligned}$$

$d$  — дипольный момент резонансного перехода, а  $P_{ij}$  — проективные матрицы (имеют элемент  $ij$  равный 1, а остальные = 0).

Решение уравнения (19) запишем в виде

$$\tilde{\rho}(t) = e^{-i\hbar^{-1}Bt} \rho(0) e^{i\hbar^{-1}Bt}. \quad (20)$$

Окончательный результат для величины квантовой алгоритмической информации будет иметь вид:

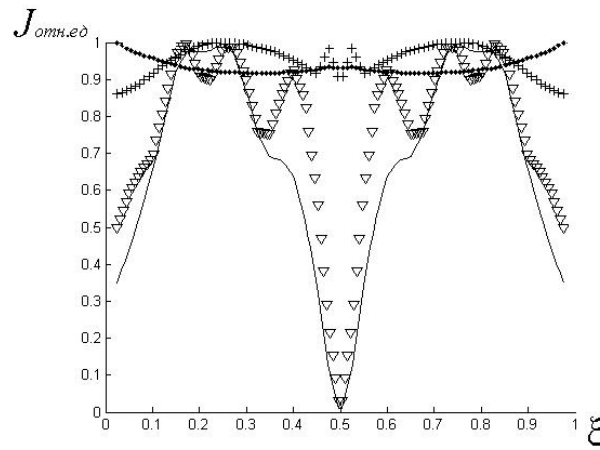


Рис. 2. Информационные меры в случае изменения положения среднего импульса в эшелоне объектного импульса.  $\xi = \tau_1/(\tau_1 + \tau_2)$ ;  $\theta = \pi/2$  — площадь объектного импульса;  $n = \sigma \cdot \delta t = 5$ , где  $\sigma$  — ширина неоднородно уширенной линии,  $\delta t$  — длительность эшелона импульсов.

$\nabla$  —  $J_c$ , классическая информация;

— —  $J_q$ , квантовая информация;

● —  $J_{fn-Re}$ , действительная часть комплексной энтропии фон Неймана;

+ —  $J_{fn-Im}$ , мнимая часть комплексной энтропии фон Неймана

$$J_q = \int_{-\infty}^{\infty} p(\omega') d\omega' \int_{-\infty}^{\infty} g(\Omega') J_q(\omega', \Omega') d\Omega', \quad (21)$$

где  $g(\Omega')$  — функция распределения по частотам неоднородно уширенной линии резонансного перехода, а  $J_q(\omega', \Omega')$  определяется выражением (11).

Аналогично для энтропии фон Неймана будем иметь

$$J_{fn} = \int_{-\infty}^{\infty} p(\omega') d\omega' \int_{-\infty}^{\infty} g(\Omega') J_{fn}(\rho(\omega', \Omega')) d\Omega', \quad (22)$$

где  $J_{fn}(\rho(\omega', \Omega'))$  определяется выражением (3). После воздействия на резонансную среду объектного импульса, несущего классическую информацию, она оказывается распределенной между отдельными изохроматами неоднородно уширенной линии, то есть возникает «информационно - фазовая решетка» в пределах неоднородно уширенной линии резонансного перехода. Каждый отдельный q-бит может содержать классическую часть информации (диагональная часть матрицы плотности) и амплитудную квантовую часть информации (недиагональная часть матрицы плотности).

В случае, когда информация заложена в нановременные интервалы между лазерными импульсами, минимальной структурой несущей информацию, является последовательность трех импульсов с неодинаковыми временными интервалами  $\tau_1$  и  $\tau_2$  между ними. Для такой структуры результат преобразования  $J_c \rightarrow J_q$  и  $J_c \rightarrow J_{fn}$  представлен на рис. 2 и рис. 3.

На рис. 2 представлены значения информационных мер при изменении положения среднего возбуждающего импульса в эшелоне (объектный импульс состоит из 3-х импульсов). В данном случае наибольший коэффициент корреляции получается между классической и квантовой информацией  $R_{J_c-J_q} = 0,92$ , между классической информацией и энтропией фон Неймана  $R_{J_c-J_{fn}} = -0.39$ , между классической информацией и действительной частью комплексного значения энтропии фон Неймана  $R_{J_c-J_{fn\_Re}} = -0.41$ , между классической и мнимой частью комплексного значения энтропии фон Неймана  $R_{J_c-J_{fn\_Im}} = 0.53$ .

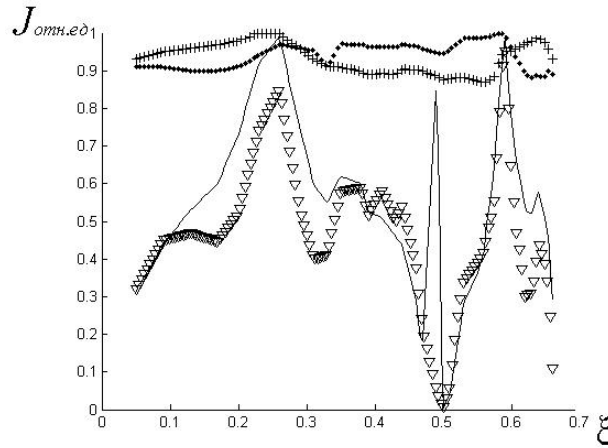


Рис. 3. Информационные меры в случае изменения положения крайнего импульса в эшелоне объектного импульса.  $\xi = \tau_1 / (\tau_1 + \tau_2)$ ;  $\theta = \pi/2$  — площадь объектного импульса;  $n = \sigma \cdot \delta t > 4$ , где  $\sigma$  — ширина неоднородно уширенной линии,  $\delta t$  — длительность всего эшелона импульсов.

- $\nabla$  —  $J_c$ , классическая информация;
- -  $J_q$ , квантовая информация;
- —  $J_{fn\_Re}$ , действительная часть комплексной энтропии фон Неймана;
- + —  $J_{fn\_Im}$ , мнимая часть комплексной энтропии фон Неймана

На рис. 3 представлены значения информационных мер при изменении положения крайнего возбуждающего импульса в эшелоне (объектный импульс состоит из 3-х импульсов). Аналогично, наибольший коэффициент корреляции получается между классической и квантовой информацией  $R_{J_c-J_q} = 0.74$ , между классической информацией и энтропией фон Неймана  $R_{J_c-J_{fn}} = 0.34$ , между классической информацией и действительной частью комплексного значения энтропии фон Неймана  $R_{J_c-J_{fn\_Re}} = 0.35$ , между классической и мнимой частью комплексного значения энтропии фон Неймана  $R_{J_c-J_{fn\_Im}} = 0.34$ .

Таким образом, наибольшая корреляция наблюдается между классической и квантовой информацией, а с энтропией фон Неймана величина корреляции классической информации значительно меньше. Это показывает, что фон Неймановская энтропия мало пригодна для описания процессов преобразования классической информации в квантовую и более подходящей является мера, основанная на алгоритмической теории информации  $J_q$ .

## 5. Заключение

Наилучшей классической информационной мерой в случае кодирования информации в нановременных интервалах, является дифференциальная информационная энтропия Фурье-спектра эшелона лазерных импульсов. При преобразовании классической информации в квантовую, наиболее подходящей мерой является квантовая информационная мера,

основанная на алгоритмической теории информации так как она имеет наибольшую корреляцию с классической информационной мерой. Кодирование информации в нановременных интервалах между возбуждающими лазерными импульсами приводит к минимальным искажениям информации в отклике резонансной системы.

### Литература

- [1] Kalachev A. A., Samartsev V.V. Coherent phenomena in optics. — Kazan: Kazan, State University, 2003. — 280 p.
- [2] Mitsunaga M., Yano R., Uesugi N. Time and frequency-domain hybrid optical memory: 1,6kbit data storage in  $\text{Eu}^{3+}:\text{R:Y}_2\text{SiO}_5$  // Opt. Lett. — 1991. — 16(23). — P. 1890-1892.
- [3] Un H., Wang T., Wilson G.A., Mossberg T.W. Experimental demonstration of swept-carrier time-domain optical memory // Opt. Lett. — 1995. — 20. — P. 91-93.
- [4] Un H., Wang T., Mossher T.W. Demonstration of 8-Gbit /  $\text{in}^2$  areal storage density based on swept-carrier frequency-selective optical memory // Opt. Lett. — 1995. — 20. — P. 1658-1660.
- [5] Schumacher B. Quantum coding // Phys. Rev. A. — 1995. — 51. — P. 2738-2747.
- [6] Cerf N. J., Adami C., Phys. Negative Entropy and Information in Quantum Mechanics // Rev. Lett. — 1997. — 79(26). — P. 5194-5197.
- [7] Nefed'ev L. A., Rusanova I .A., Information Processes in Optical Echo Holography // Optics and Spectr. — 2001. — 90(6). — P. 906-910.
- [8] Nefed'ev L. A., Rusanova I .A. Copying Quantum Information in a Three-Level Medium with a Phase Memory // Laser Physics. — 2002. — 12(3). — P. 1-6.